

Visión Computacional y Machine Learning en la Industria Post-cosecha

Saul Cuen

DataDay 2023
EGADE, Tec de Mty
Nov-14

Sistema de Visión para la industria postcosecha



13 de junio de 2022

Tomate rojo (Jitomate)

Producción 2022		Comercio exterior 2021		Semáforo
Estimada	Otoño-Invierno Abril 2022	Importaciones	Exportaciones	
1,562,558 toneladas	862,557 toneladas	NS toneladas	1,730,149 toneladas	●

Evolución mensual de las importaciones y exportaciones mexicanas de jitomate 2019-2022
 (miles de toneladas)


Nota: Los volúmenes comerciales no consideran los retornos.

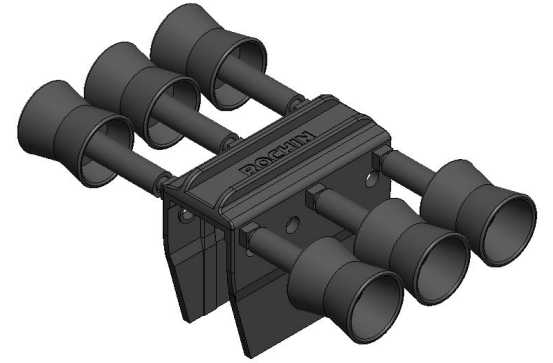
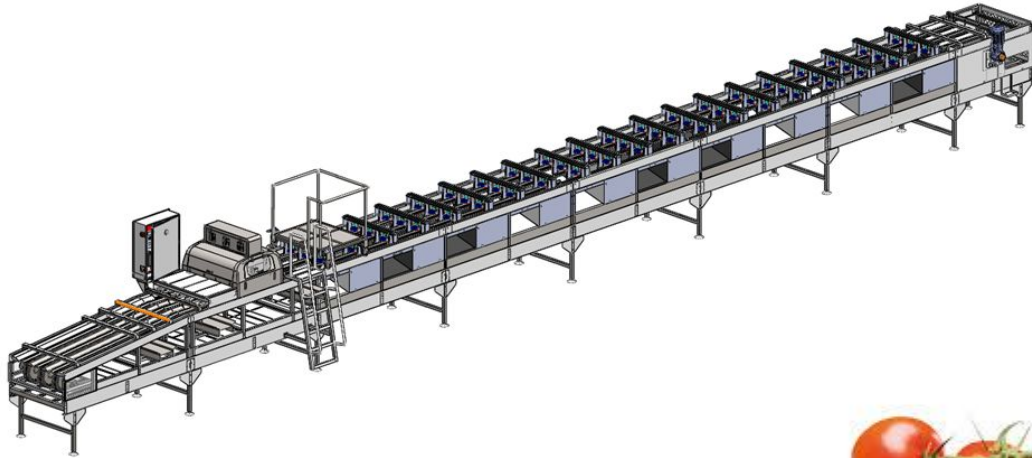
Fuente: SIAP con datos aduaneros de México.

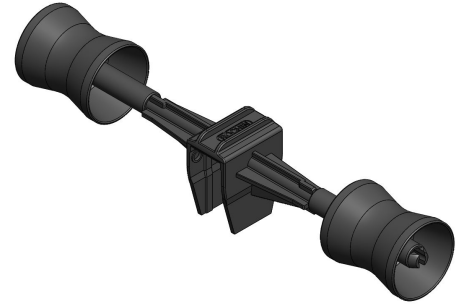
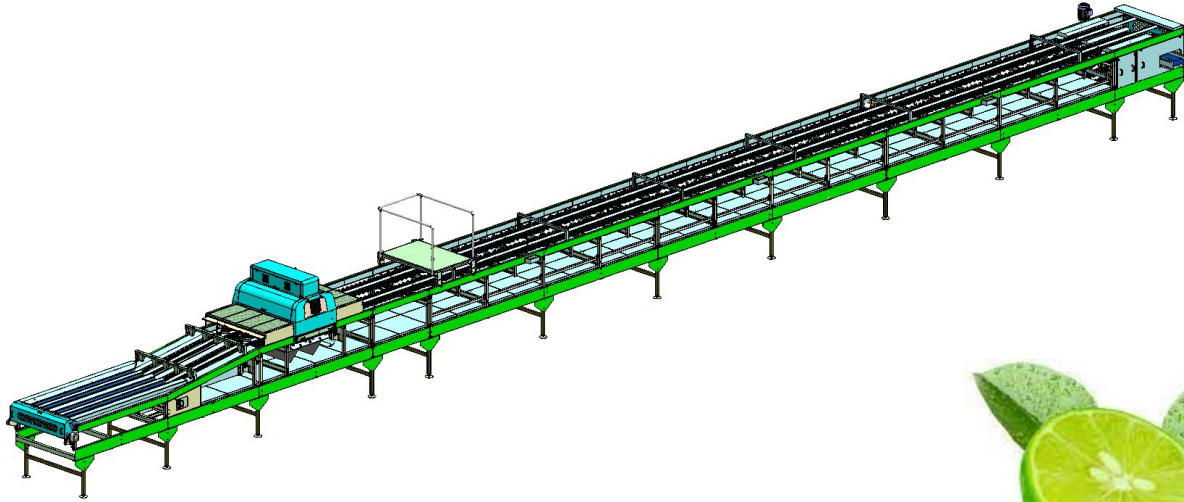
Principales países exportadores de tomate en 2020

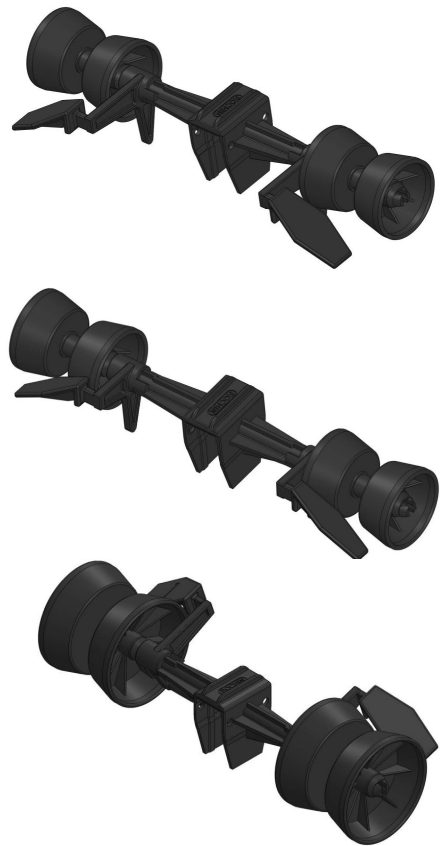
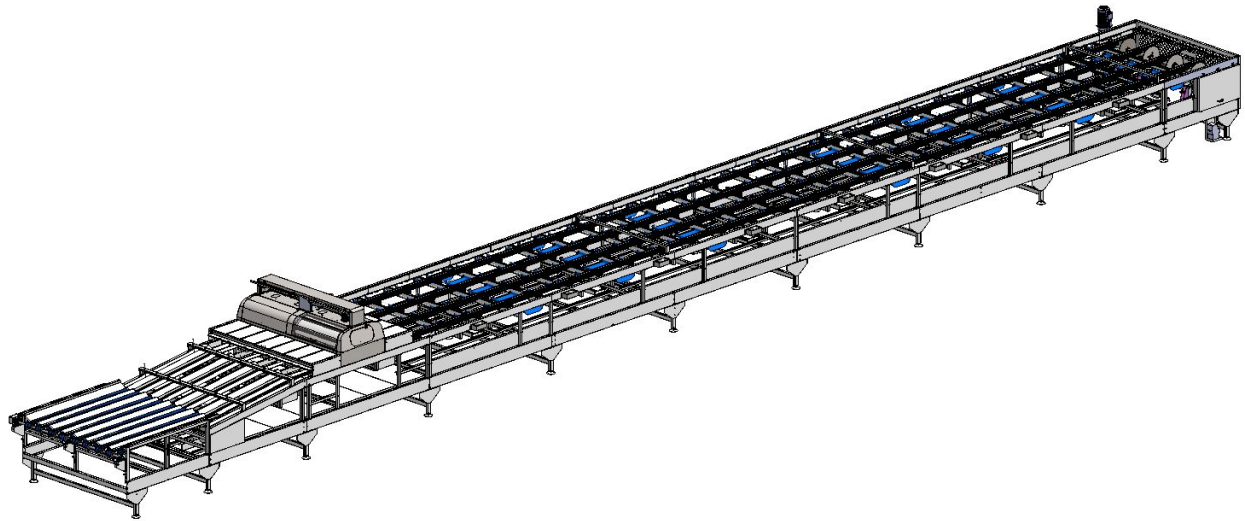
País	Volumen (t)	Volumen (%)	Valor (mdd)	Valor (%)
México	1,826,715	23.5	2,606	26.4
Países Bajos	1,024,069	13.2	1,919	19.4
España	734,223	9.4	1,074	10.9
Marruecos	596,719	7.7	770	7.8
Turquía	513,835	6.6	310	3.1

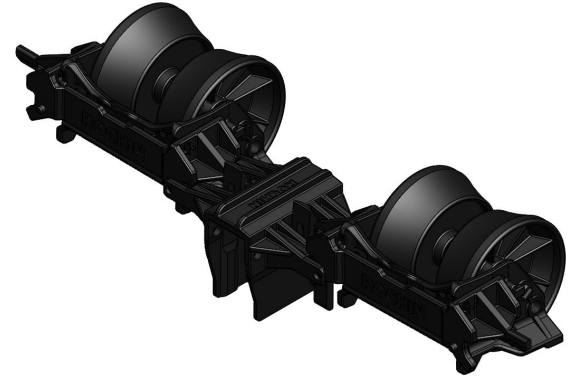
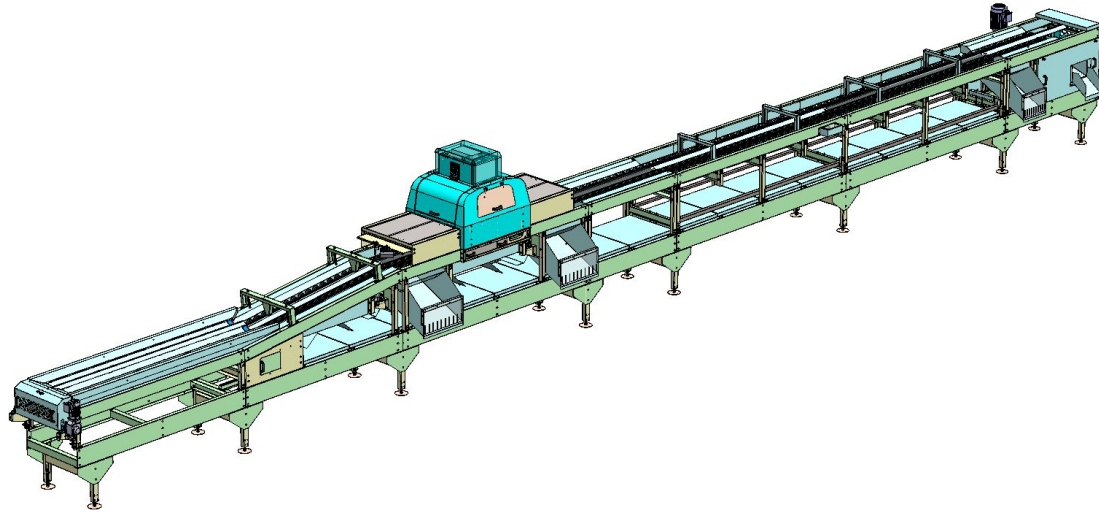
Fuente: FAO-FAOSTAT/ProducePay 2020

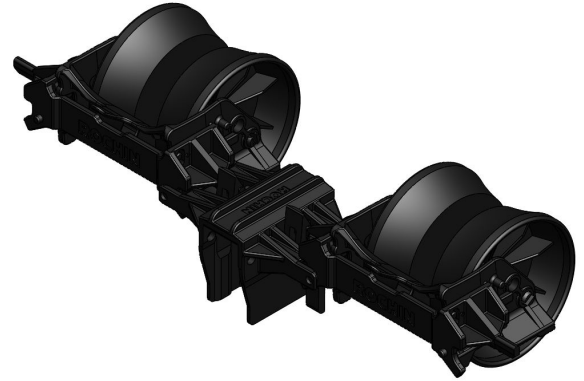
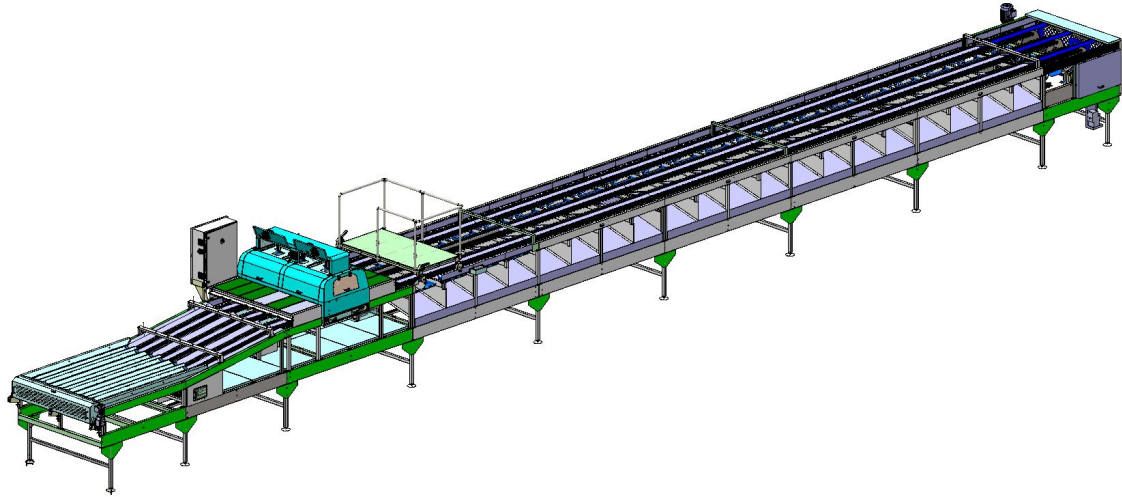
Food and Agriculture Organization (FAO)

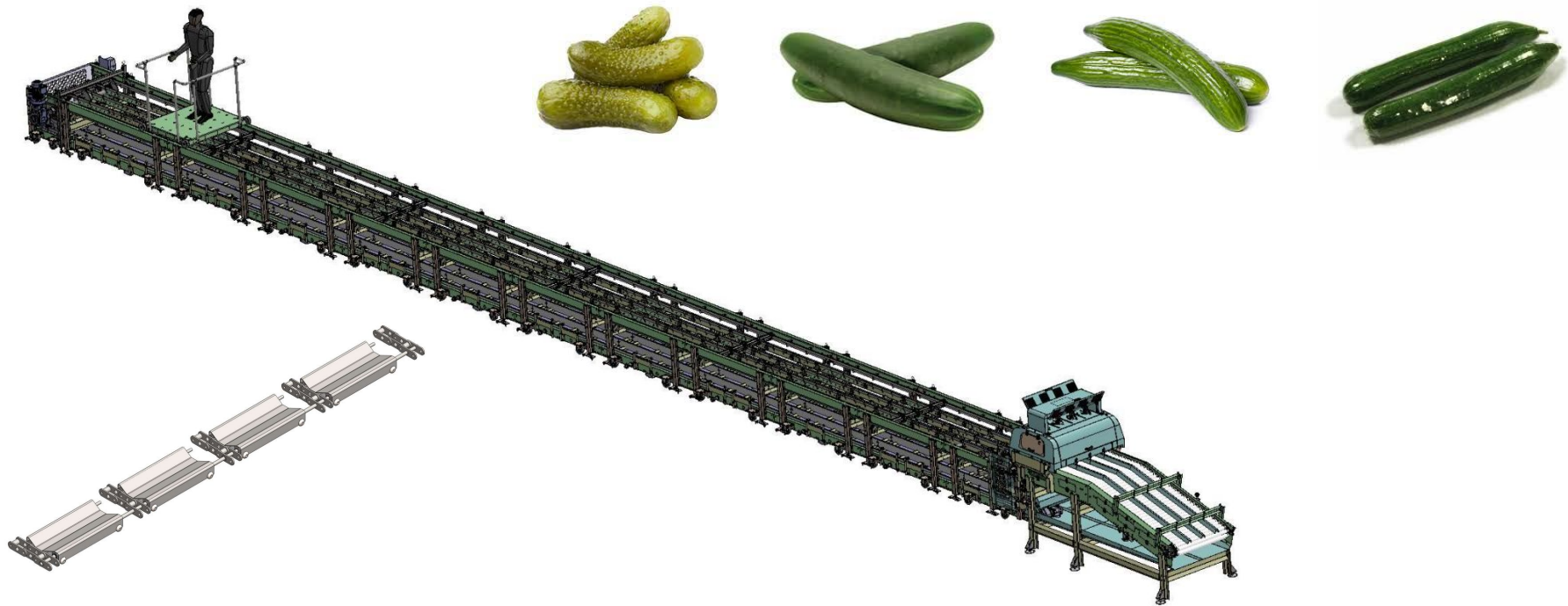




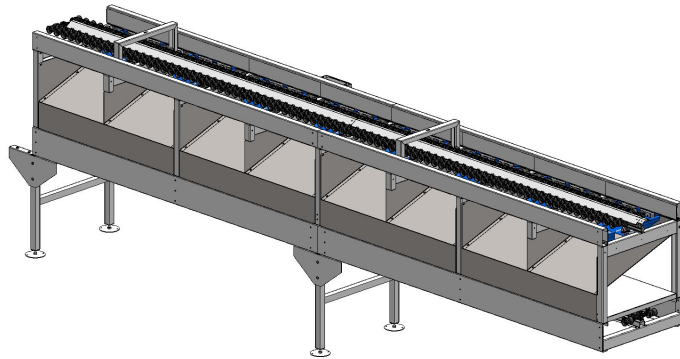




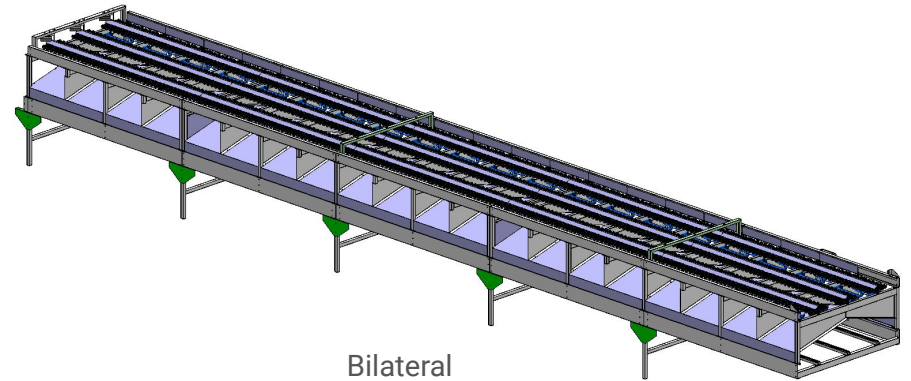




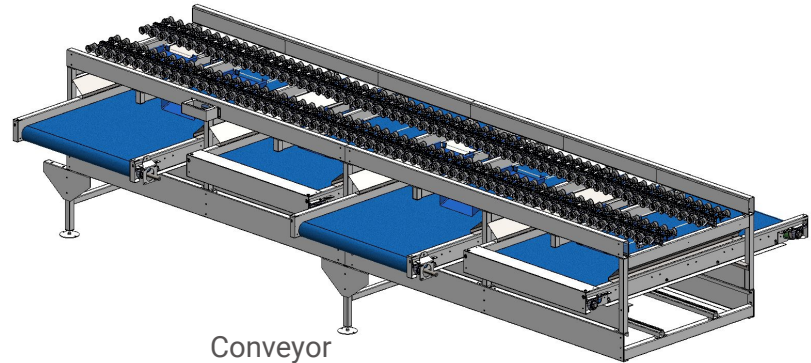
Outlets



Lateral

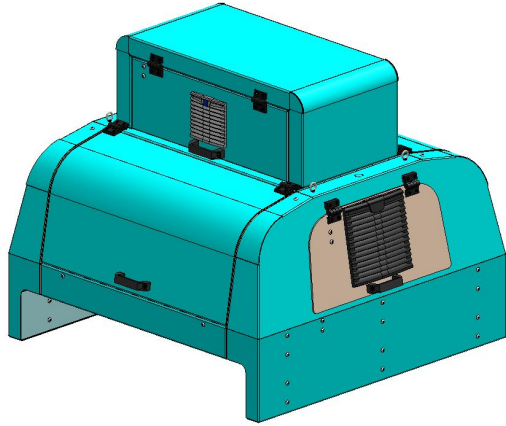


Bilateral

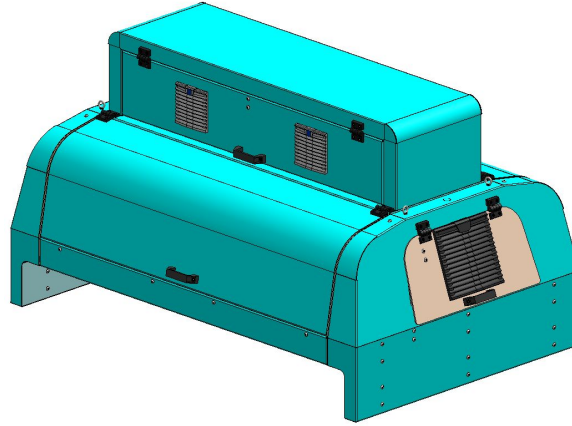


Conveyor

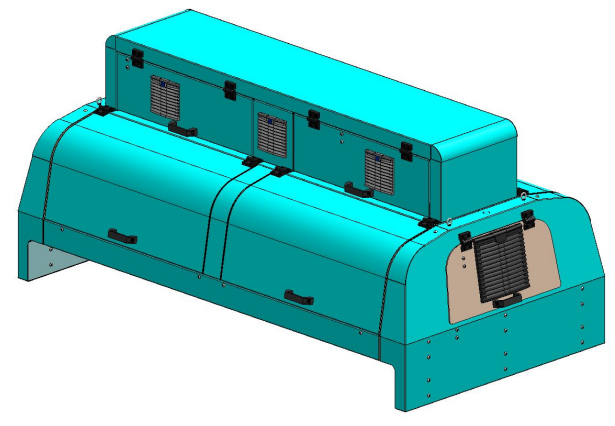
Camera cabinet



2 lines sorter



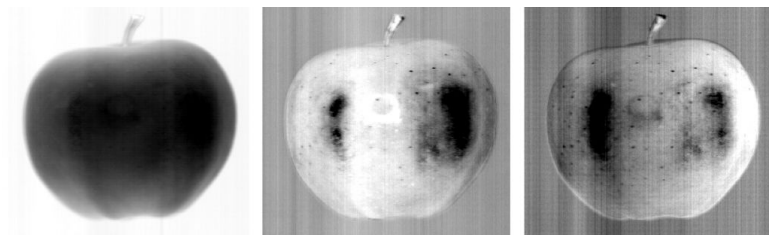
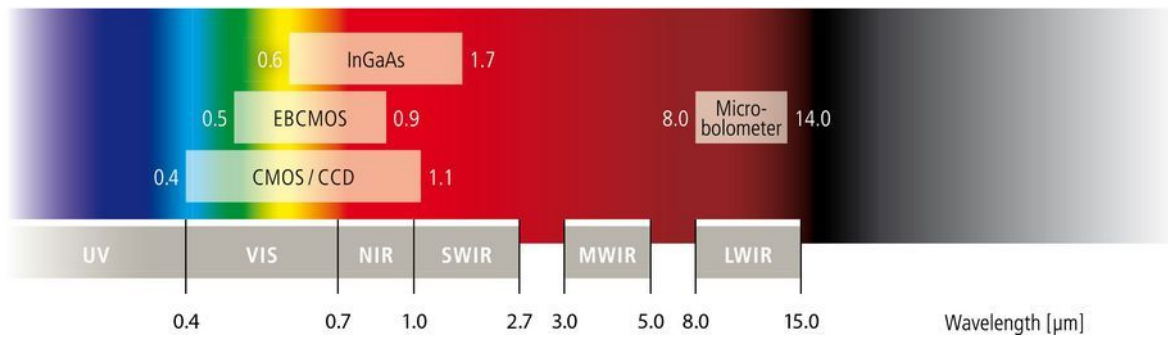
4 lines sorter



6-8 lines sorter

Espectro de Luz:

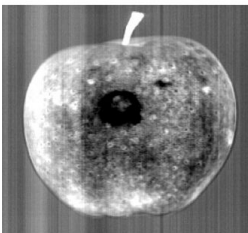
- Color
- Monocromática y/o NIR (Infrarroja)
- SWIR (Mayo penetración en la piel de la fruta)



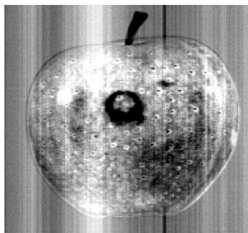
MN1

MN2

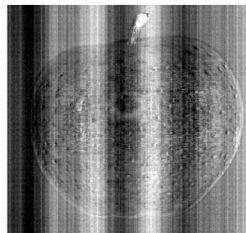
MN3



MN4



MN5

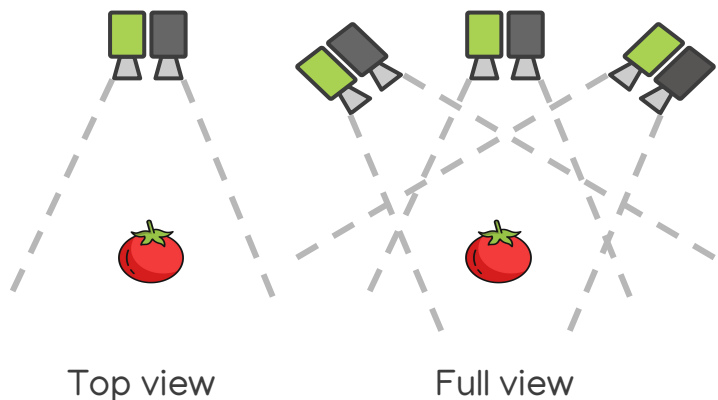
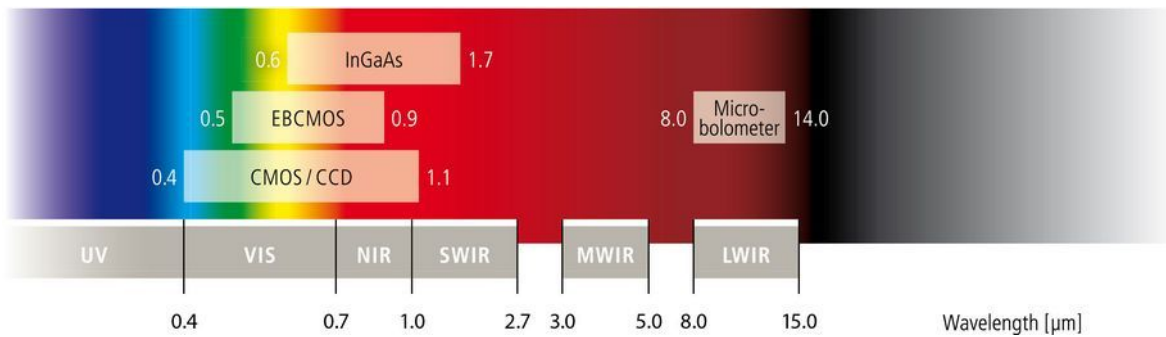


MN6

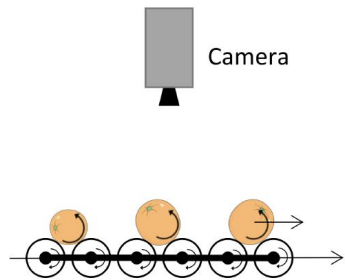
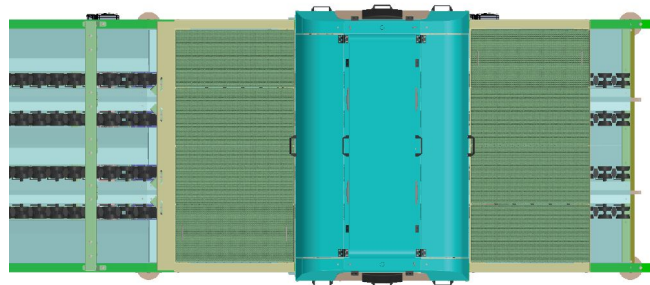
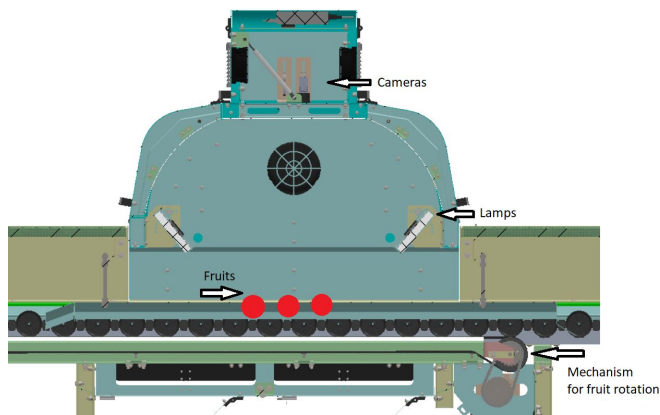


Espectro de Luz:

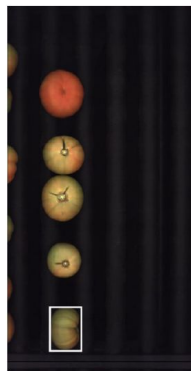
- Color
- Monocromática y/o NIR (Infrarroja)
- SWIR (Mayo penetración en la piel de la fruta)



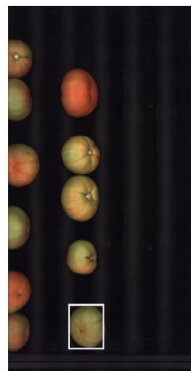
Usual camera technologies: *Firewire* and *Ethernet* (GigE Vision).



Frame t



Frame $t + 1$



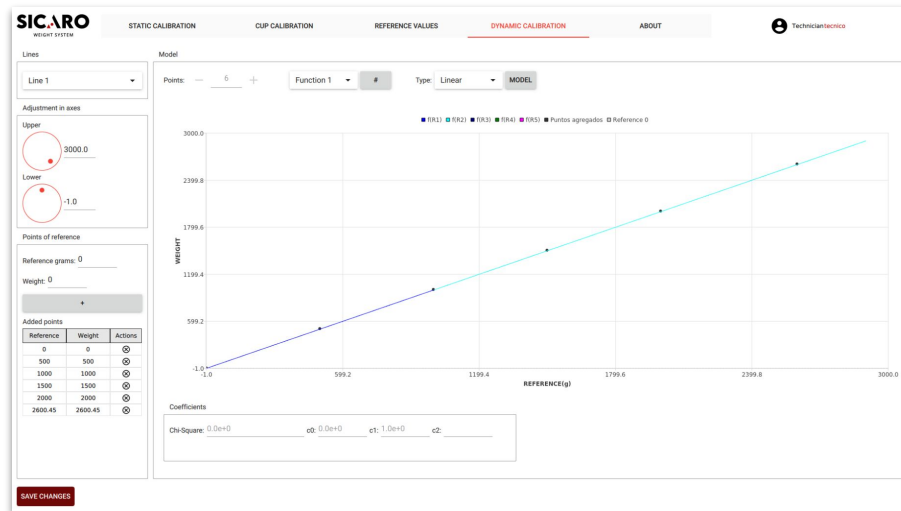
Frame $t + 2$

Pesaje

Módulo para clasificar por peso, puede ser combinado para estimar densidad



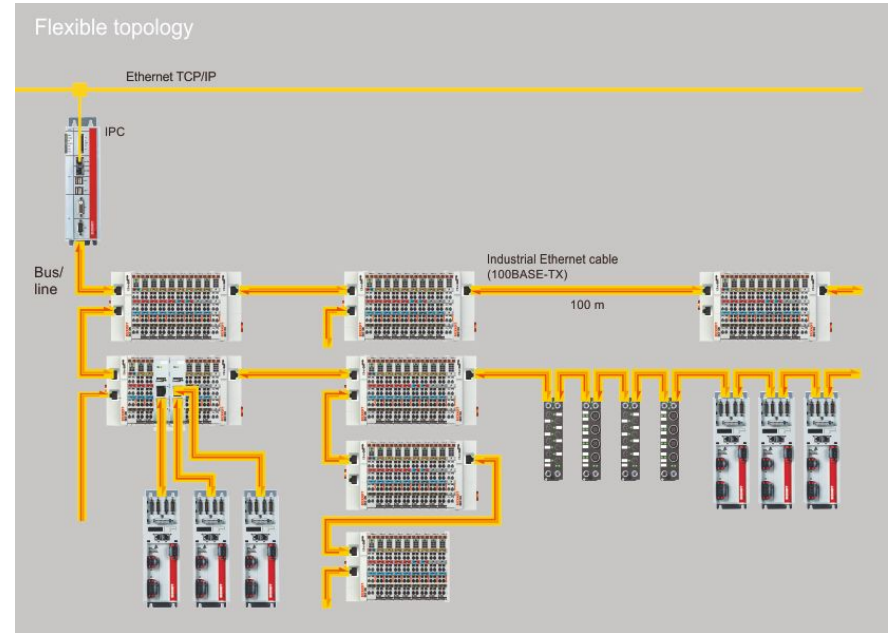
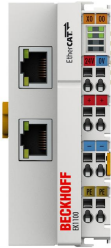
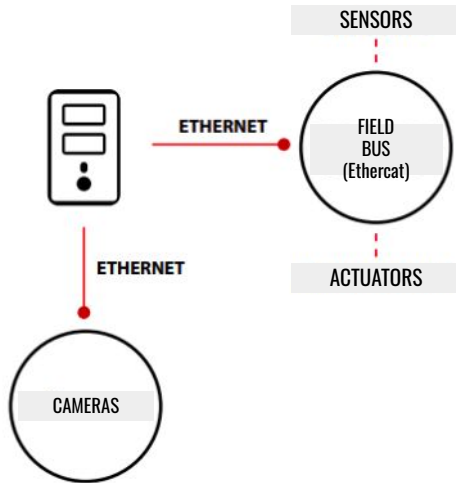
Diseño de carrier



Software UI

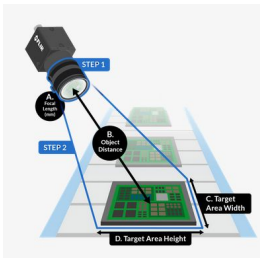
Industrial control bus

Ethercat industrial bus protocol, since they offer wide bandwidth of data with very fast access. Open source available.



Mapa conceptual: Sistema de visión artificial para el control de líneas de tratamiento y selección de calidades

Camaras: Guppy (Allied Vision), DragonFly, Blackfly (PointGrey / FLIR)



Máquina: Controladores Beckhoff (solenoides, sensor de rotación). Etiquetadoras.

FireWire / Ethernet

PC Vision 1 (Ubuntu OS)

VISIÓN 1: Interfaz técnica para calibración de cámaras

PC Vision 2, 3, ... (Ubuntu OS)

VISIÓN 2, 3, ... Se ha logrado correr 6 calles con una computadora

EtherNET

EtherCAT

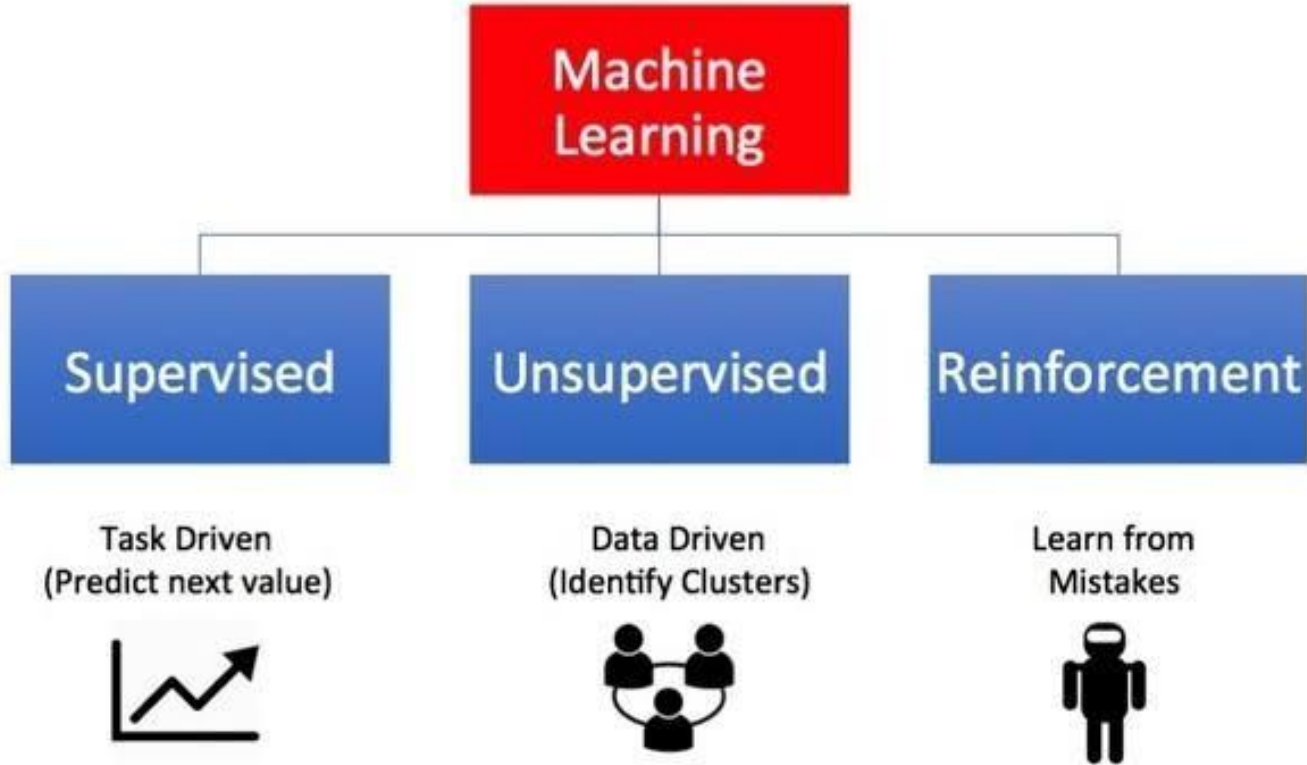
SORTER: Interfaz principal, Programación de salidas

PC Principal* (Ubuntu OS)

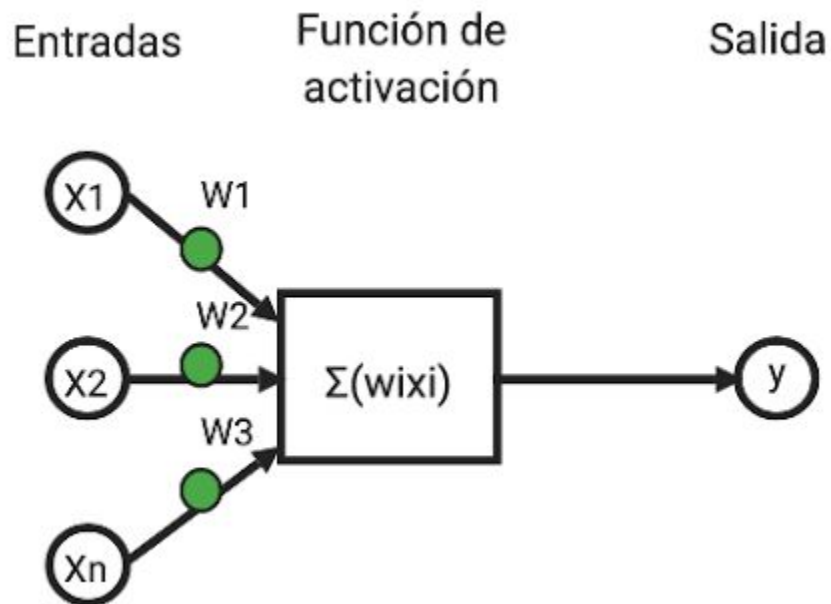
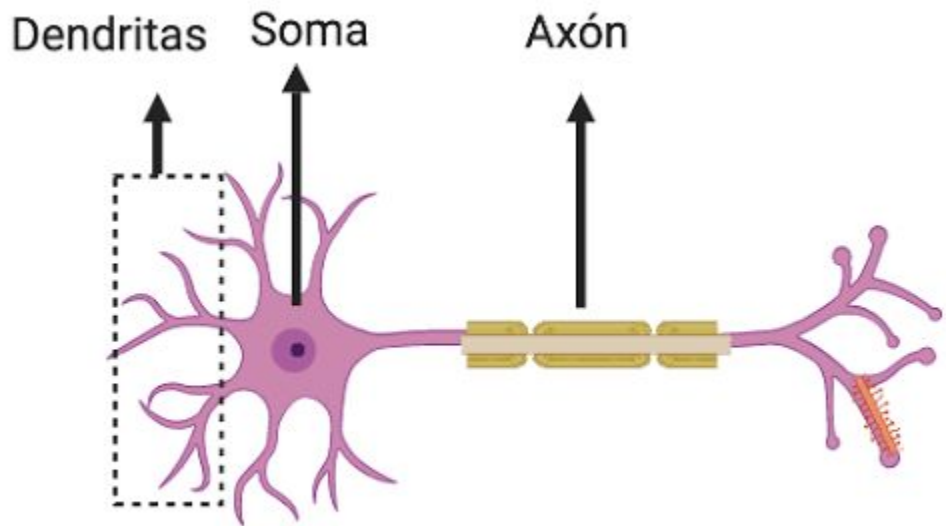
DATOS: Desplegado de "albaranes", gráficas de producción y rendimiento de la máquina

Disco

Types of Machine Learning

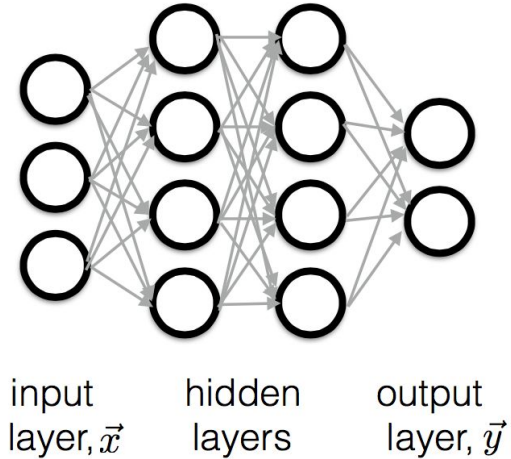


Redes neuronales, el perceptron

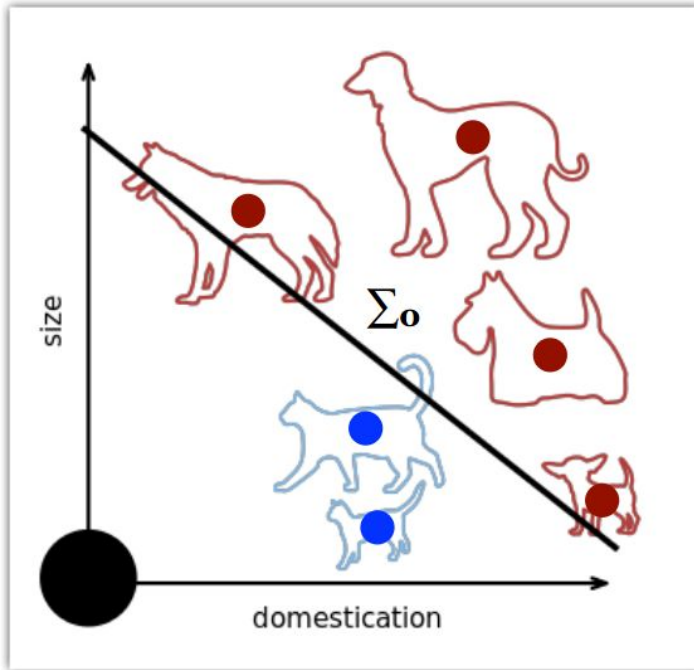


“Traditional neural net”

Fully-Connected Multi-Layer Perceptrons

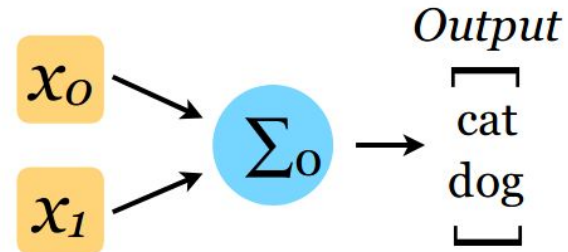


Imagine using two features to separate cats and dogs



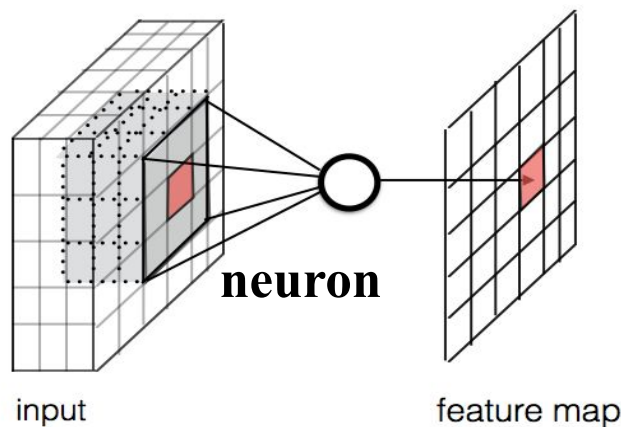
from [wikipedia](#)

$$\sigma(\vec{x}) = \begin{cases} \vec{w}_i \cdot \vec{x} + b_i & \vec{w}_i \cdot \vec{x} + b_i \geq 0 \\ 0 & \vec{w}_i \cdot \vec{x} + b_i < 0. \end{cases}$$

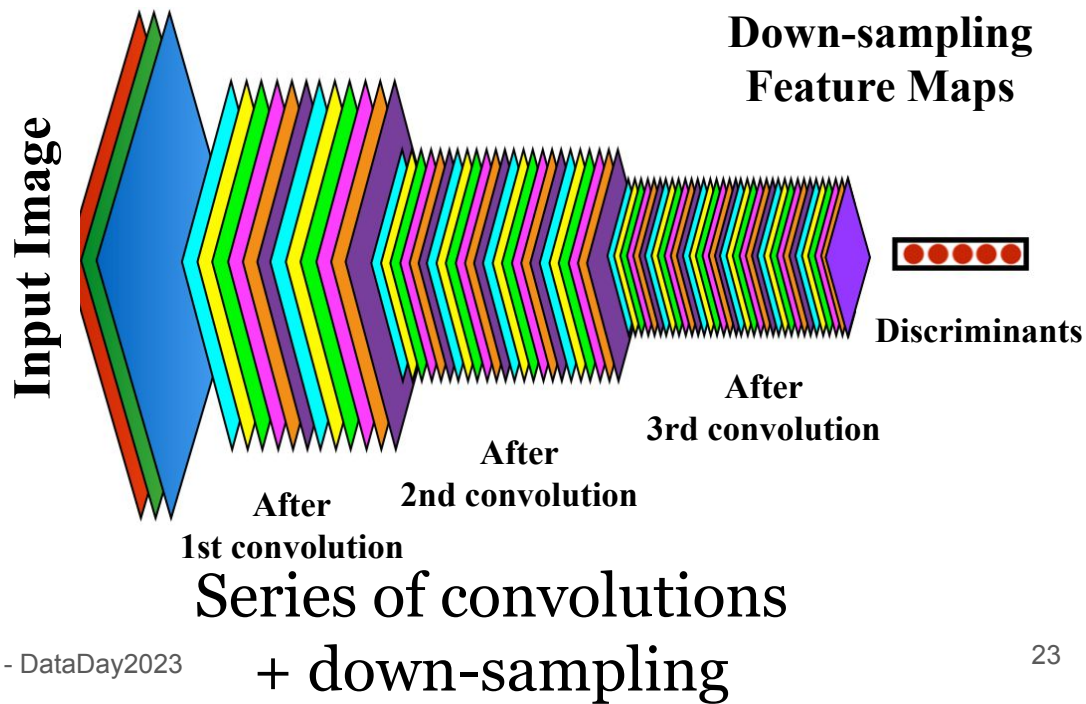


By picking a value for \mathbf{w} and \mathbf{b} ,
we define a boundary
between the two sets of data

- CNNs are “**feature extraction machine**”
 - Consists of a “convolution layer” with “kernels”
 - A chain of parallelizable linear algebra operations
- CNN seen as a **geometrical data transformer**



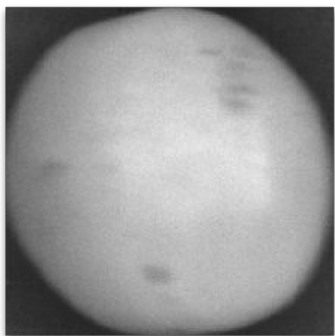
Convolution
Operation



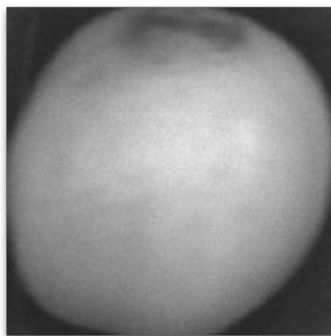
Series of convolutions
+ down-sampling

Skin quality classification using DL

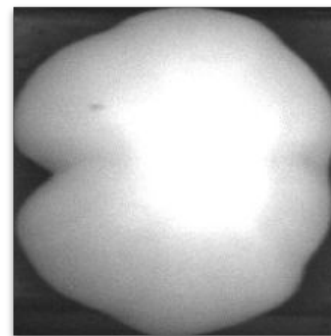
- Capacity to recollect high definition data base images during production to reuse, improve and adapt classification models.



Predicted label: Bad Scarring



Predicted label: Bad Localized bruise



Predicted label: Bad Deformation

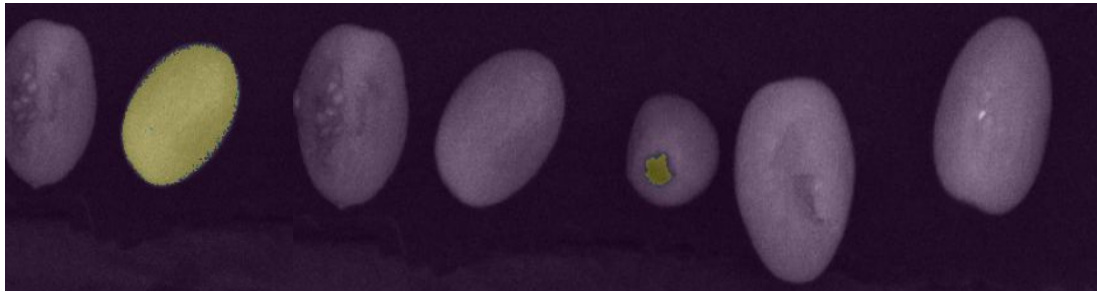


Pixel precision segmentation using DL

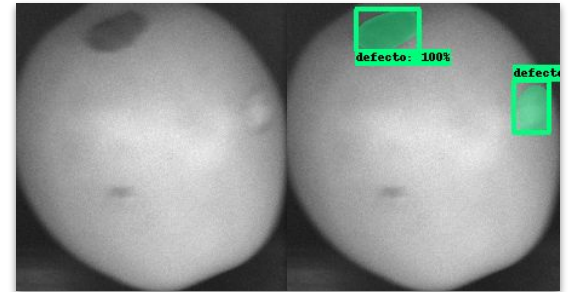
Quality detection with pixel precision: module for sorting fruit by pixel area. Customizable defects.

Levels of detection:

- Isolate fruit from background
- Color specific
- Texture specific
- Defect specific

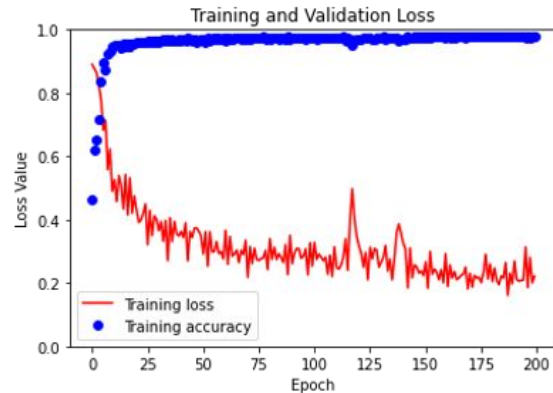
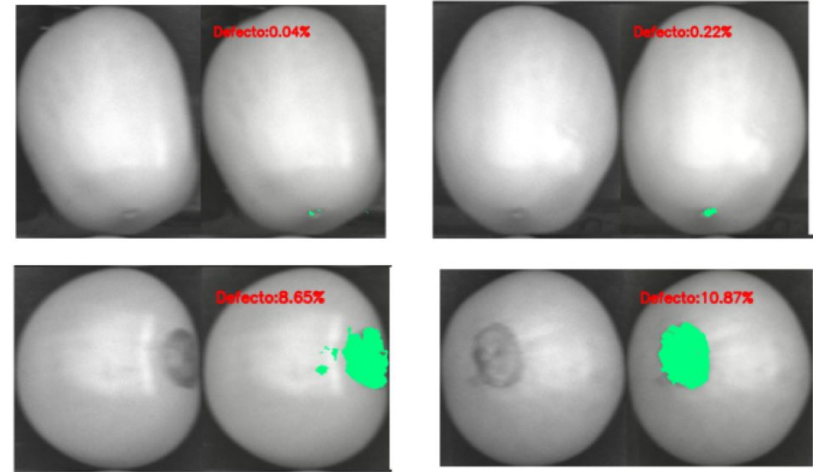
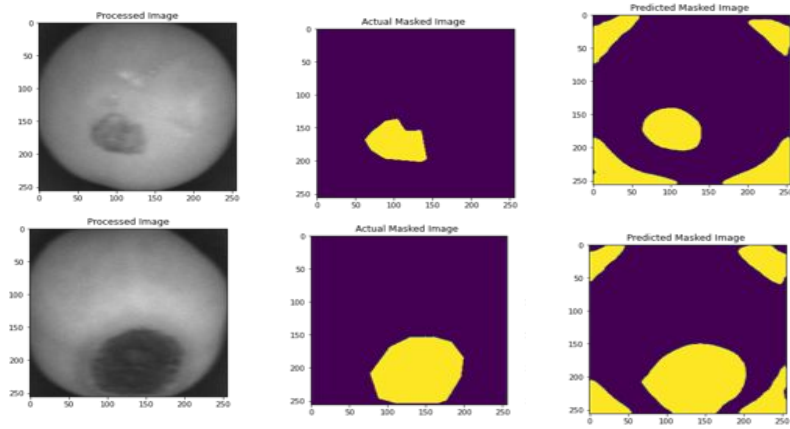


Fruit-background isolation and defect-fruit isolation example



Pixel segmentation of defects

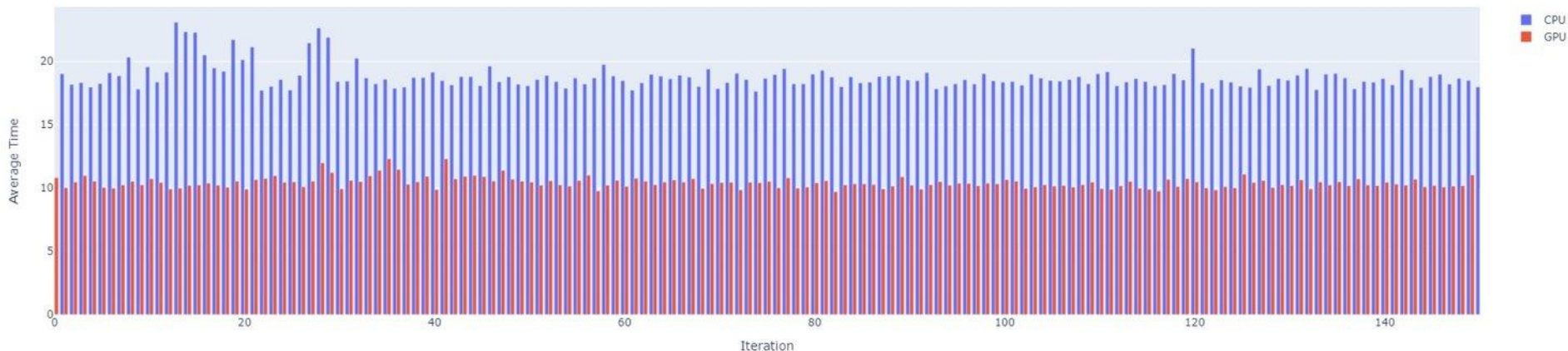
UNet para clasificación y segmentación



Segmentation demo frames with
imperfection detection percentage

Performance, we need real-time inferences!

Total time (ms) for Each Iteration [9 threads]



- **9 inferencias en paralelo**

- **20ms total en CPU intel i9 12 Gen, o approx 2ms por inferencia**
- **10ms total en GPU RTX-3070, o approx 1ms por inferencia**
-

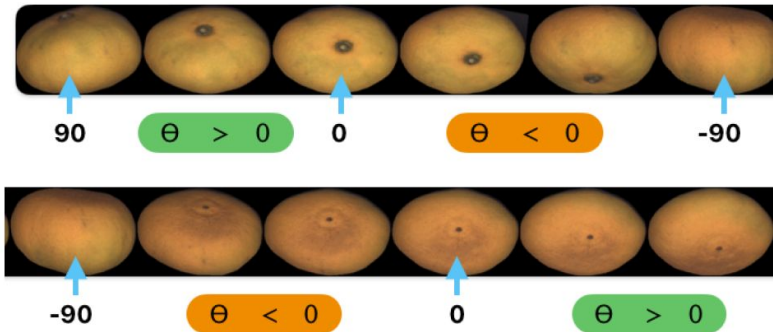
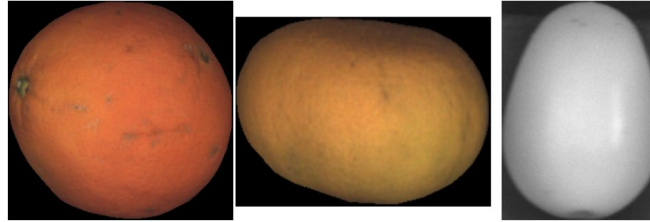
Estimación de pose y radios internos

Spheroid models:

Sphere (orange)

Oblate (tomato)

Prolate (cherry tomato)



Article

Fast 3D Rotation Estimation of Fruits Using Spheroid Models

Antonio Albiol ^{1,*}, Alberto Albiol ¹ and Carlos Sánchez de Merás ²

Sensors 2021, 21, 2232. <https://doi.org/10.3390/s21062232>

Saul Cuen - DataDay2023

Work by Tec de Mty students:

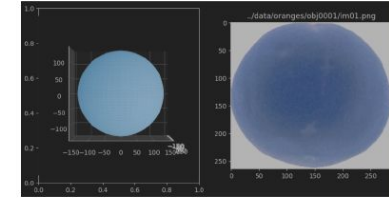


Fig. 3. Sphere spheroid compared with orange view

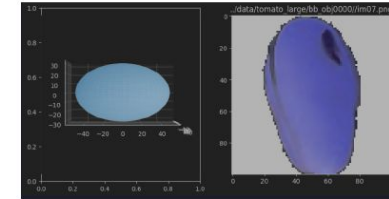


Fig. 4. Prolate spheroid compared with tomato view

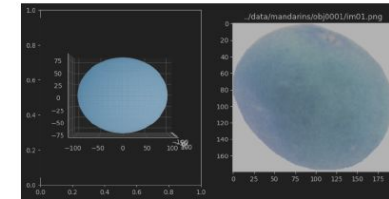
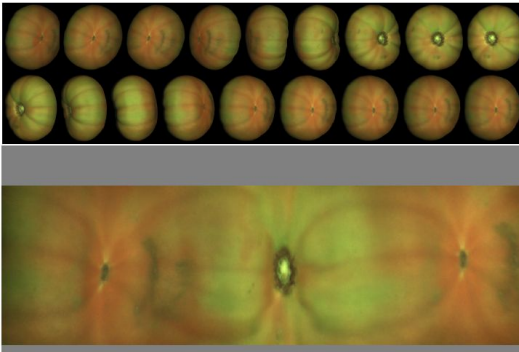
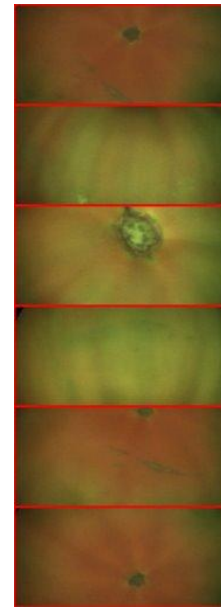
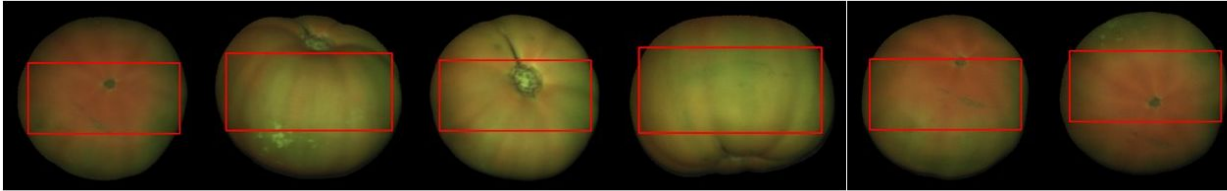


Fig. 5. Oblate spheroid compared with mandarin view





Fusión de imágenes

- Bajar el número de inferencias
- Porcentajes de segmentación de fruta completa y no solo de una imagen



Article

Single Fusion Image from Collections of Fruit Views for Defect Detection and Classification

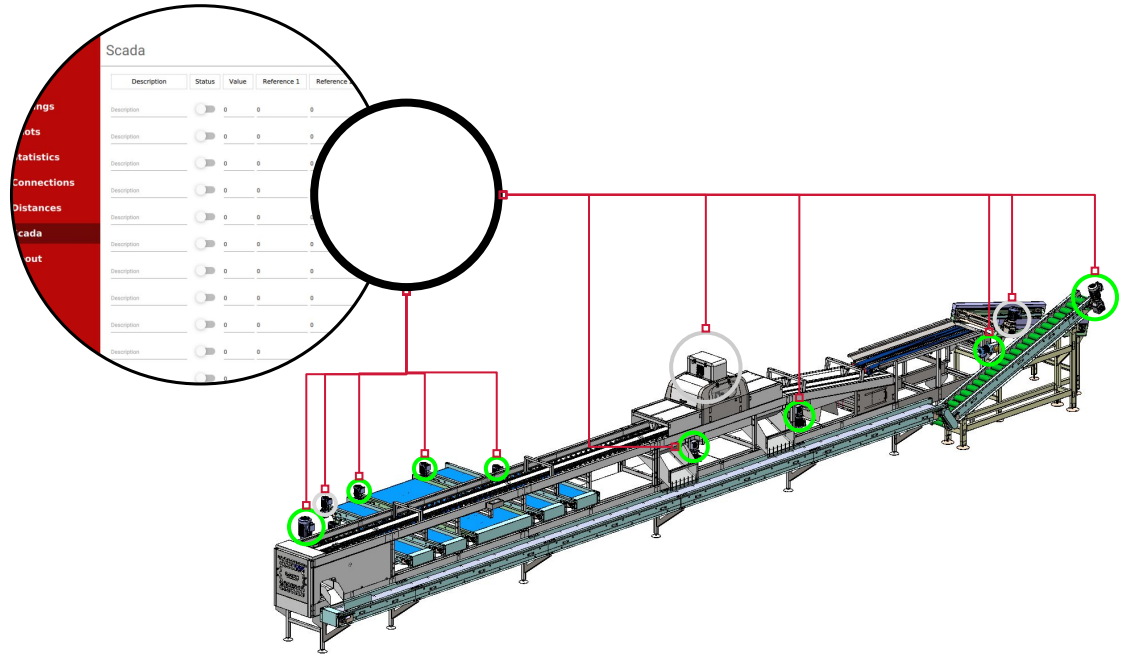
Antonio Albiol ^{1,*}, Carlos Sánchez de Merás ¹, Alberto Albiol ² and Sara Hinojosa ³

Sensors 2022, 22, 5452. <https://doi.org/10.3390/s22145452>

SCADA

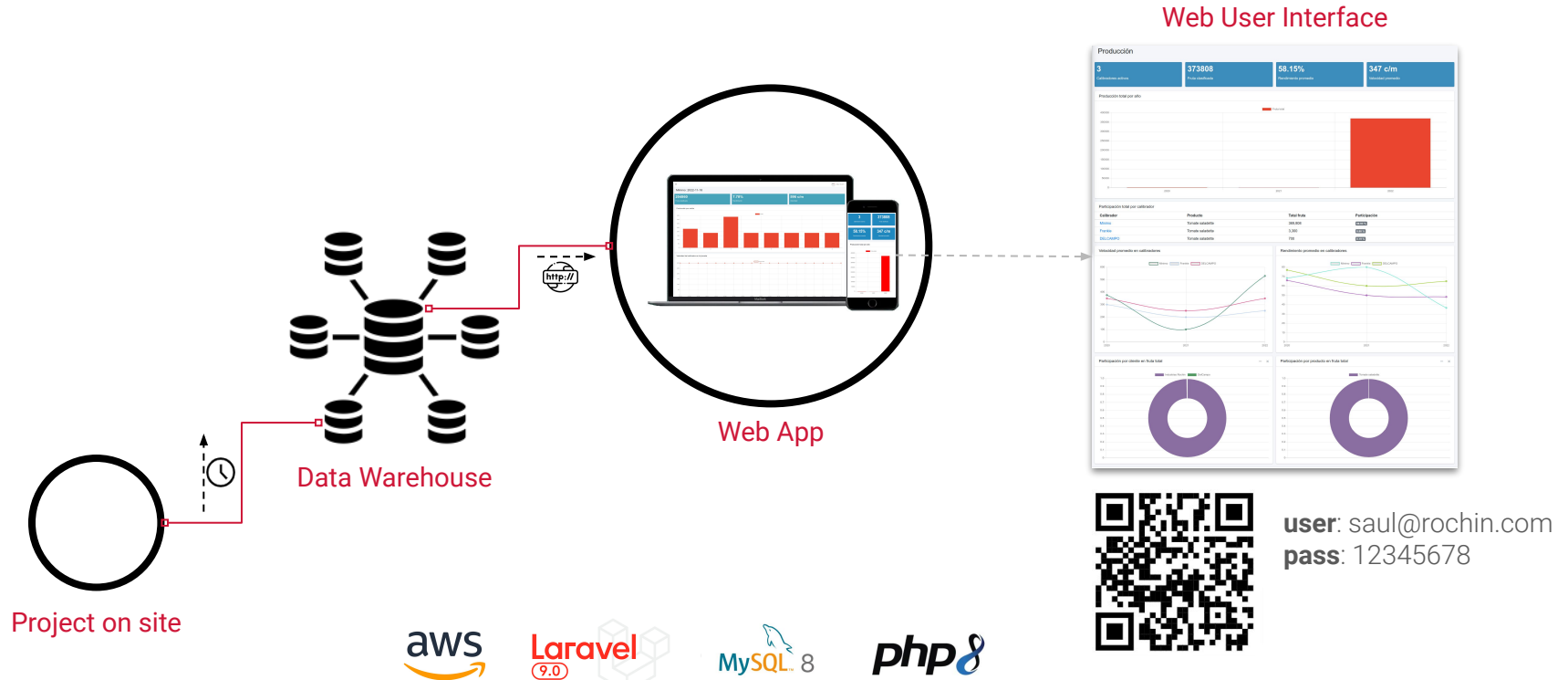
To control the entire treatment line:

- Lighting, motors, starts, shutdowns, etc.
- Perform automatic startup and shutdown sequences
- AI could be applied to predict failure

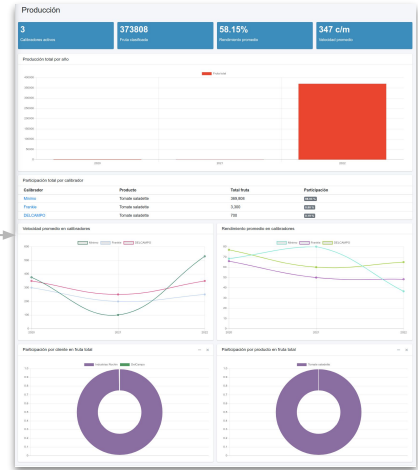


Power BI

Cloud-based business intelligence application: **offsite access**



Web User Interface



user: saul@rochin.com
pass: 12345678



Contacto. Quedo atento a sus comentarios :)



Profesor Investigador - Tecnológico de
Monterrey, Escuela Ingeniería y Ciencias.

✉ saulcuen@tec.mx

Consultor Ingeniería - Rochin Post Harvest
Innovation.

✉ scuen@industriasrochin.com

 Saul Cuen Rochin